

تأثير التغيرات المناخية على الخواص الفيزيقية لمياه البحر أمام السواحل المصرية اللآمنالية وتطبيقاتها



إعداد

د.أحمد عبد العال محمد عبد الله
رئيس الادارة المركزية للبحوث والمناخ

على الرغم من وجود دراسات عديدة في النواحي الهيدروجرافية في منطقة شرق البحر المتوسط فإن الخواص الصوتية لهذه المنطقة التي تشمل المياه المصرية الشمالية لم تحظى باهتمام كافٍ على الرغم من أهميتها التطبيقية في العمليات والأعمال البحرية لذا فإن هذه الرسالة تناولت بالفحص بعض الدراسات والبحوث العلمية التطبيقية مع تحليل دقيق للبيانات الهيدروجرافية والصوتية للخروج بنتائج وتحصيات تساعده في تنفيذ أعمال القوات البحرية وعمليات المسح البحري والتطبيقات البحرية الأخرى، قام الباحث بتحليل البيانات الهيدروجرافية والصوتية وبيانات علوم البحار الطبيعية المرصودة أمام السواحل المصرية بشرق البحر المتوسط والاستفادة من البحوث السابقة ذات الصلة المباشرة بهذا الموضوع وتطبيق النماذج الرياضية المختلفة وتم استخدام برامج على الحاسوب الآلي لمعالجة تلك البيانات وتم الحصول على المعلومات والنتائج لمعرفة الخواص الهيدروجرافية والصوتية وتطبيقاتها العملية في المجالات المختلفة، تختص الدراسة منطقة شرق البحر المتوسط الواقعة شرق خط طول 25° شرق وحتى السواحل الشرقية للبحر المتوسط وجنوب خط العرض 30° حتى السواحل المصرية وتحيط بها كل من (مصر - فلسطين - لبنان - إسرائيل - قبرص - كريت).

الطبقة السطحية $28,14^{\circ}$ منوية وأقل قيمة للملوحة $37,82$ برومول وأكبر قيمة للملوحة $39,49$ برومول أما في فصل الخريف فإن أقل درجة حرارة ماء البحر $12,79^{\circ}$ منوية في المياه العميقة وأكبر درجة حرارة في الطبقة السطحية $26,39^{\circ}$ منوية وأقل قيمة للملوحة $28,77$ برومول وأكبر قيمة للملوحة $28,78$ برومول و يصل أقل متوسط سنوى لدرجة حرارة ماء البحر $12,78^{\circ}$ منوية في المياه العميقة وأكبر درجة حرارة في الطبقة السطحية $22,60^{\circ}$ منوية وأقل قيمة للملوحة $28,22$ برومول وأكبر قيمة للملوحة $28,28$ برومول.

أثبتت الدراسة الهيدروجرافية ما توصلت إليه الدراسات السابقة ، حيث تصاحب الكتلة المائية القادمة من المحيط الأطلنطي لمنطقة شرق البحر المتوسط أقل كمية ملوحة وتصاحب الكتلة المائية القادمة من البحر الأدريaticي ويحرى يوجه إلى شرق البحر المتوسط «كتلة مياه شرق المتوسط» بين متوسطة (LIW) أكبر كمية ملوحة وثبتت الدراسة أيضاً تأثير المنطقة بطبيعة ميل حراري خلال فصل الصيف وطبقه خلط خلال فصل الشتاء وثبتت الدراسة أيضاً تقسيم الكتل المائية في شرق البحر المتوسط إلى أربعة كتل مائية (كتل مائية سطحية ذات درجة حرارة وملوحة عالية والكتلة المائية القادمة من المحيط الأطلنطي التي تمتد أسفل الطبقة السطحية وتختص بقلة درجة الحرارة والملوحة بالإضافة إلى كتلة مياه شرق المتوسط بين متوسطة (LIW) وتحتوى على أكبر كمية ملوحة والطبقة العميقة التي تختص بثبات الحرارة والملوحة).

تم تصميم برنامج حاسب آلى متكامل لتحليل البيانات الهيدروجرافية والصوتية بسرعة عالية والوصول إلى المعلومات والتطبيقات المختلفة باستخدام اعداد كبيرة من البيانات الهيدروجرافية المرصودة في منطقة الدراسة والتي تشمل درجة حرارة وملوحة ماء البحر على مختلف الأعماق حيث تم الحصول على تلك البيانات من مركز بيانات علوم البحار القومي الأمريكي NODC والتي تغطي الفترة من 1965 حتى 1998 ومن سفينة الأبحاث الأمريكية Little Hills والتي تغطي الفترة من 1995 حتى 2000 ومن سفينة الأبحاث الألمانية Meteor أثناء رحلاتها العلمية بشرق البحر المتوسط أعوام 1995 و 1997 و 1999 و 2001 و 2005 حيث وصل إجمالي عدد محطات الرصد إلى 7019 محطة رصد بحري.

أثبتت التوزيعات الأفقية والرأسمية للخصائص الهيدروجرافية لمنطقة شرق البحر المتوسط أن أقل درجة حرارة ماء البحر خلال فصل الشتاء $12,84^{\circ}$ منوية في المياه العميقة وأكبر درجة حرارة في الطبقة السطحية $18,2^{\circ}$ منوية وأقل قيمة للملوحة $28,50$ برومول (جرام ٣٩,٢٠ ملح / لتر ماء) وأكبر قيمة للملوحة $28,50$ برومول أما في فصل الربيع فإن أقل درجة حرارة ماء البحر $12,57^{\circ}$ منوية في المياه العميقة وأكبر درجة حرارة في الطبقة السطحية $20,14^{\circ}$ منوية وأقل قيمة للملوحة $27,15$ برومول وأكبر قيمة للملوحة $28,87$ برومول أما في فصل الصيف فإن أقل درجة حرارة ماء البحر $12,11^{\circ}$ منوية في المياه العميقة وأكبر درجة حرارة في

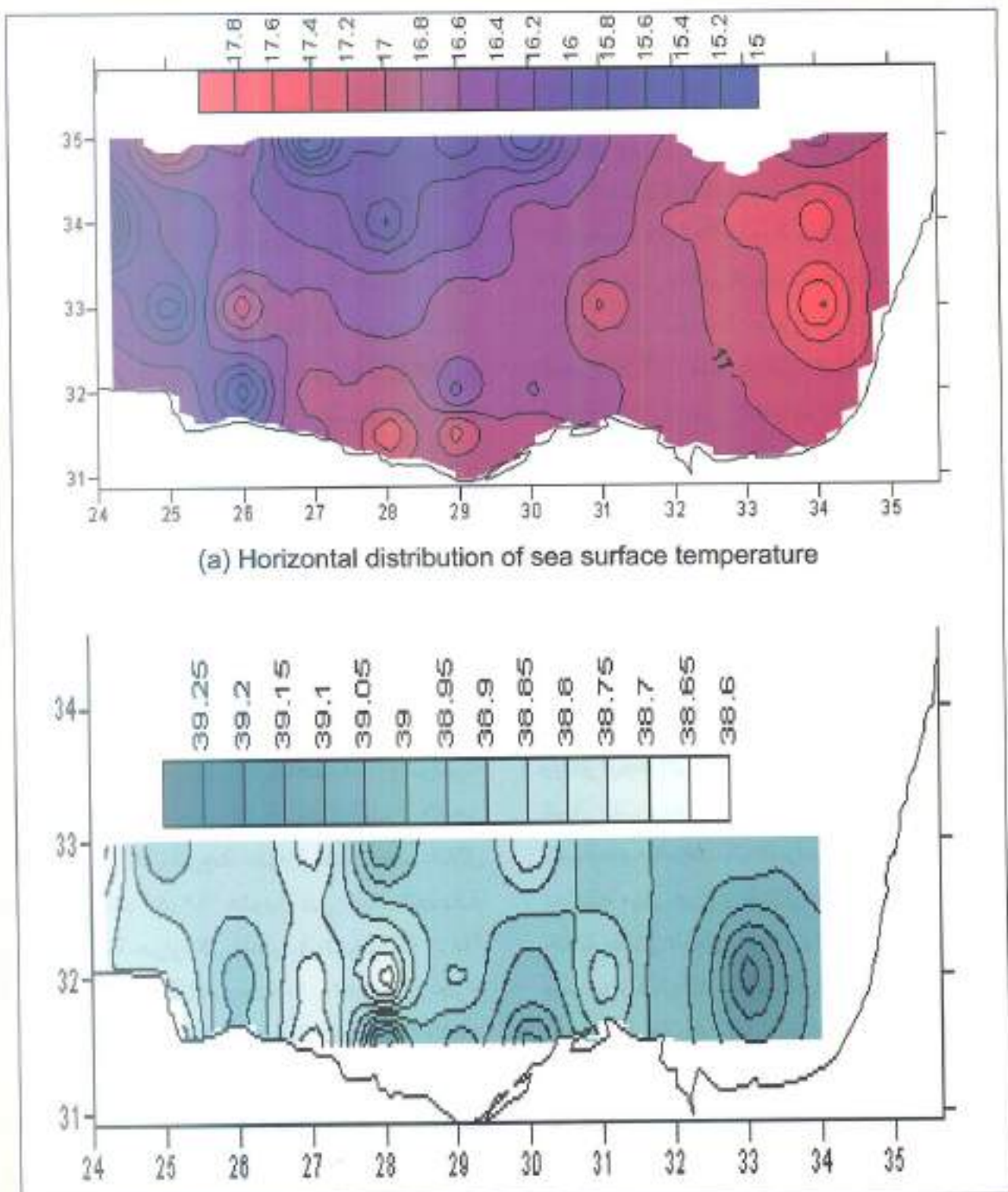


Figure (.) Horizontal distribution f sea surface
Temperature (a) and salinity (b), during winter (February)

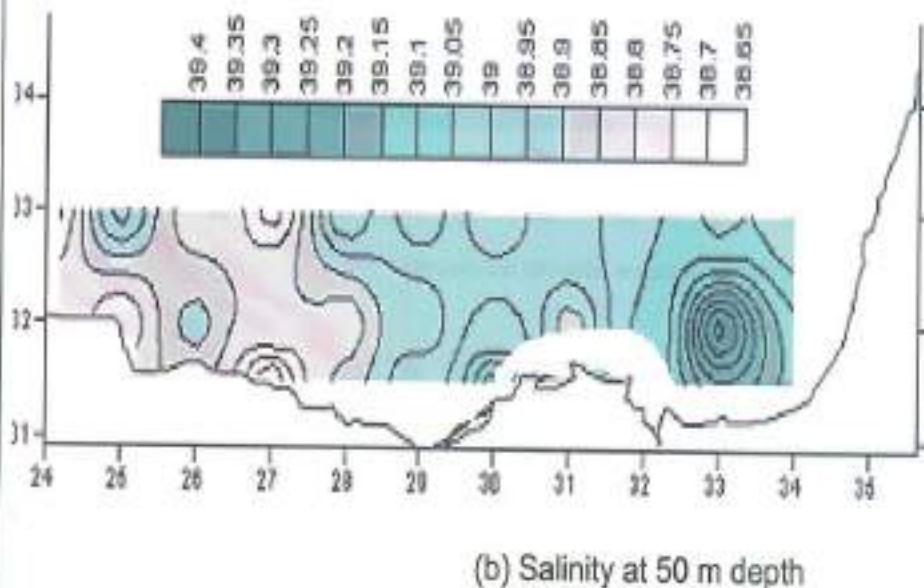
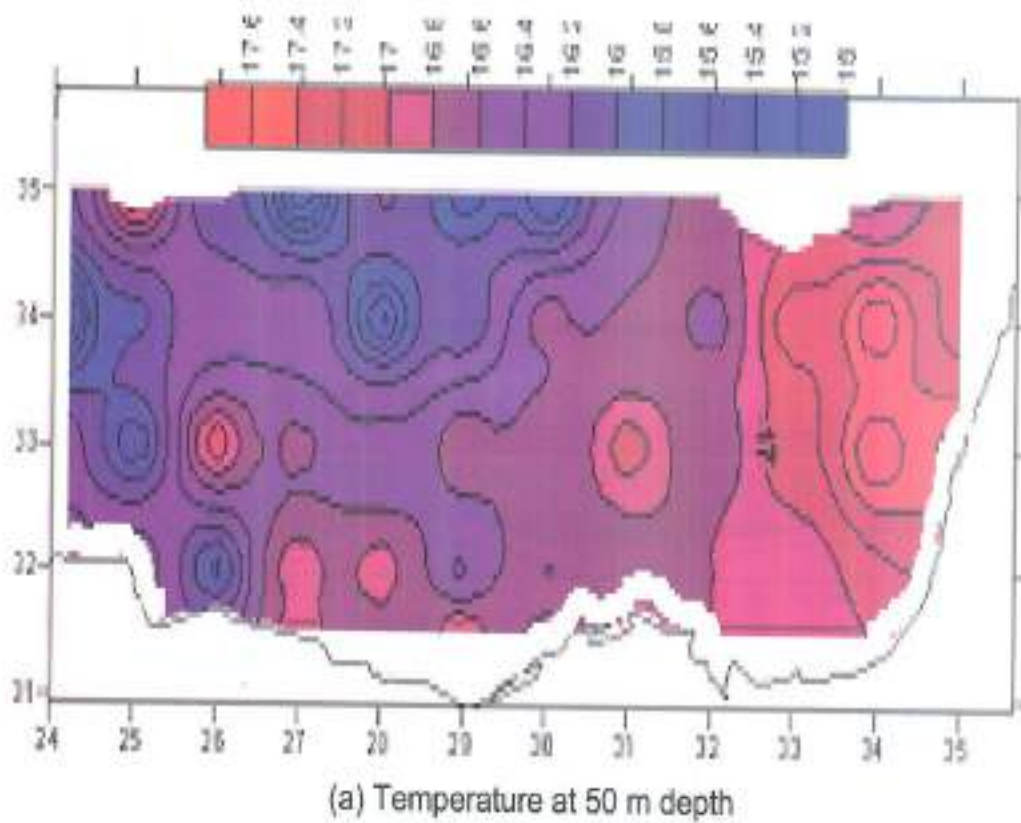
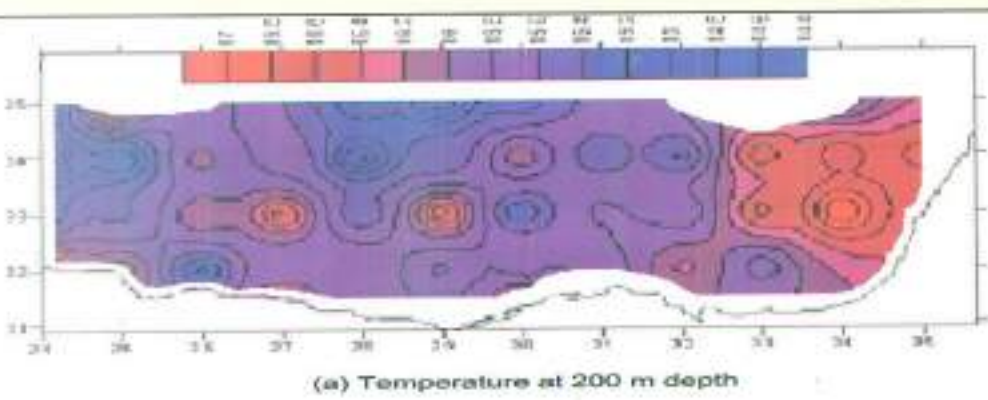
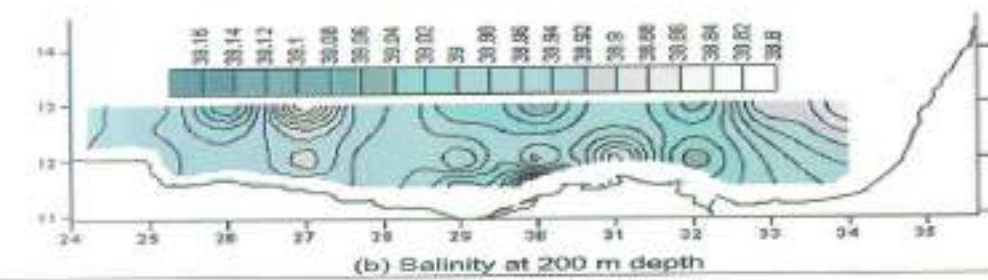


Figure (.2) Horizontal distribution of temperature (a) and Salinity (b) at 50 m depth, during winter (February).

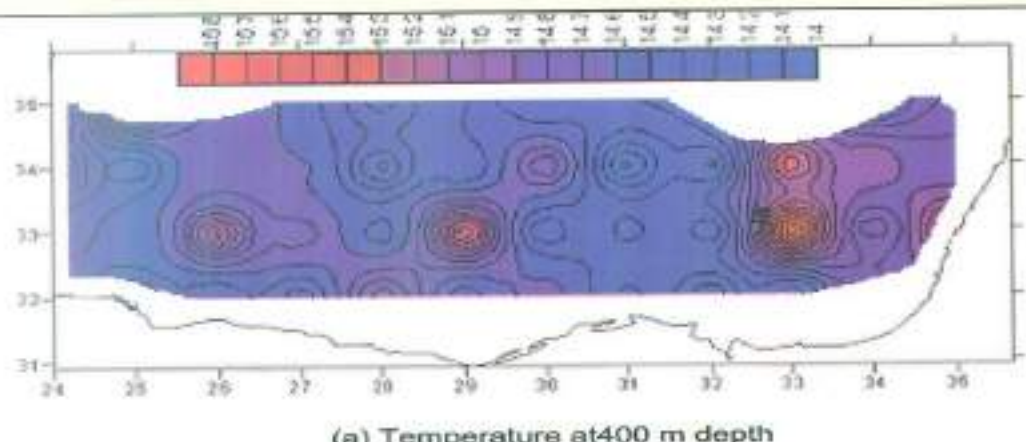


(a) Temperature at 200 m depth

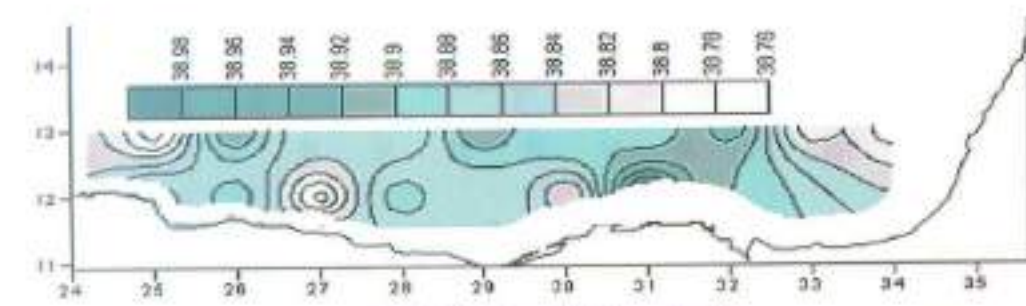


(b) Salinity at 200 m depth

Figure (.3) Horizontal distribution of temperature (a) and Salinity (b) at 200 m depth, during winter (February).



(a) Temperature at 400 m depth



(b) Salinity at 400 m depth

Figure (.4) Horizontal distribution of temperature (a) and Salinity (b) at 400 m depth, during winter (February).

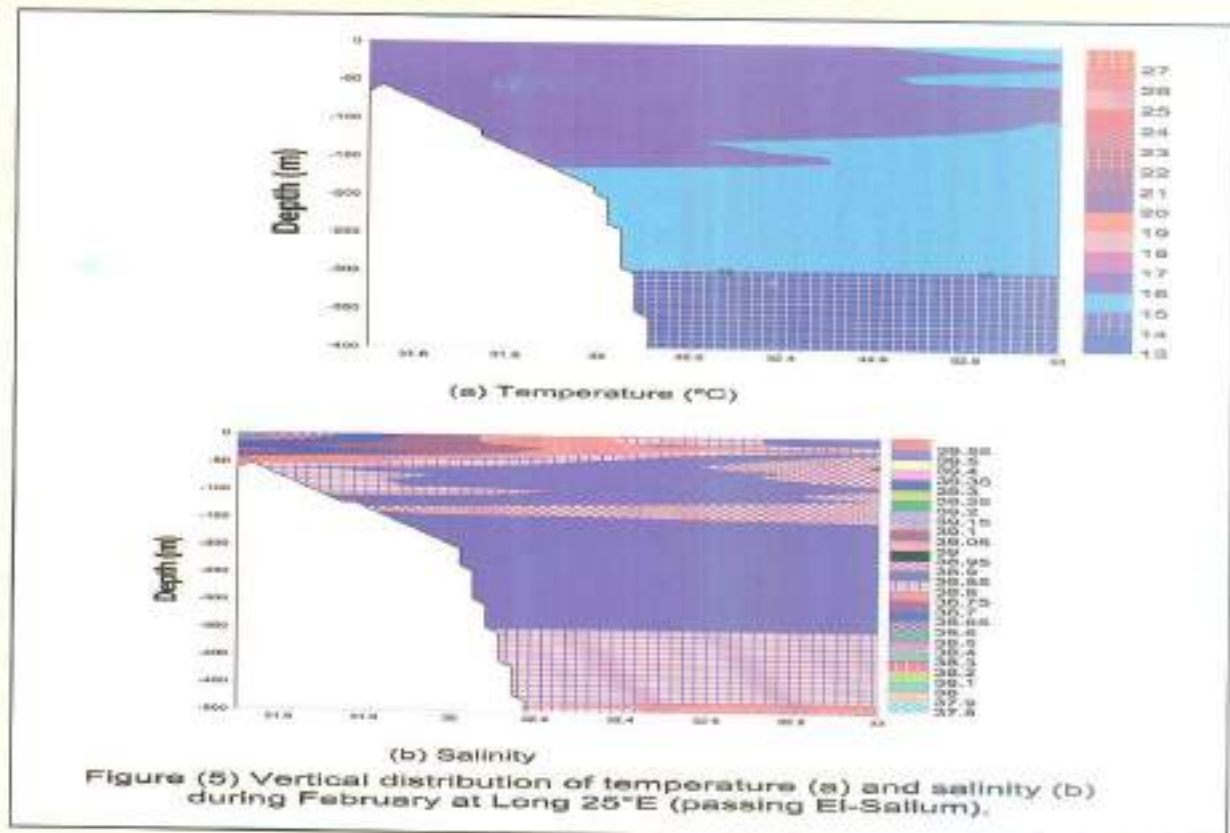


Figure (5) Vertical distribution of temperature (a) and salinity (b) during February at Long 25°E (passing El-Sallum).

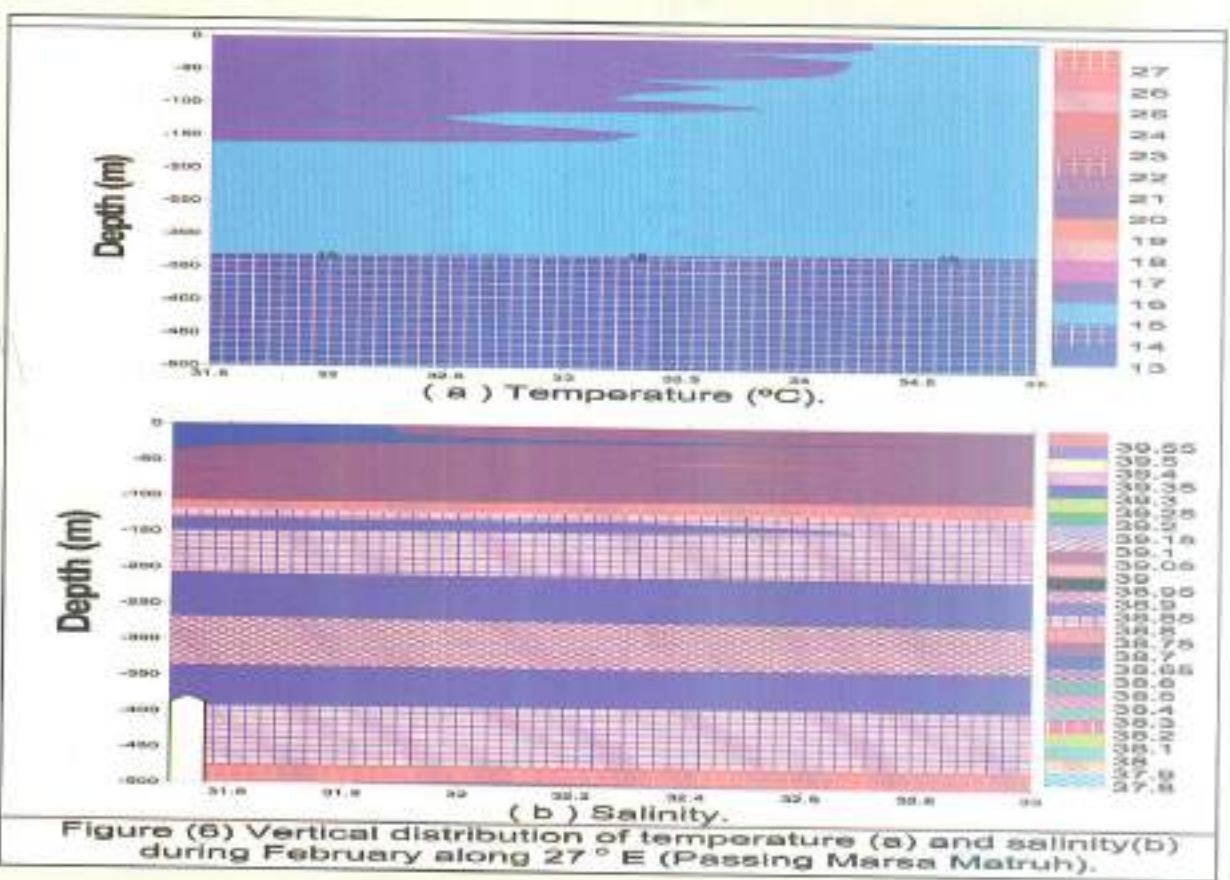


Figure (6) Vertical distribution of temperature (a) and salinity(b) during February along 27° E (Passing Marsa Matruh).

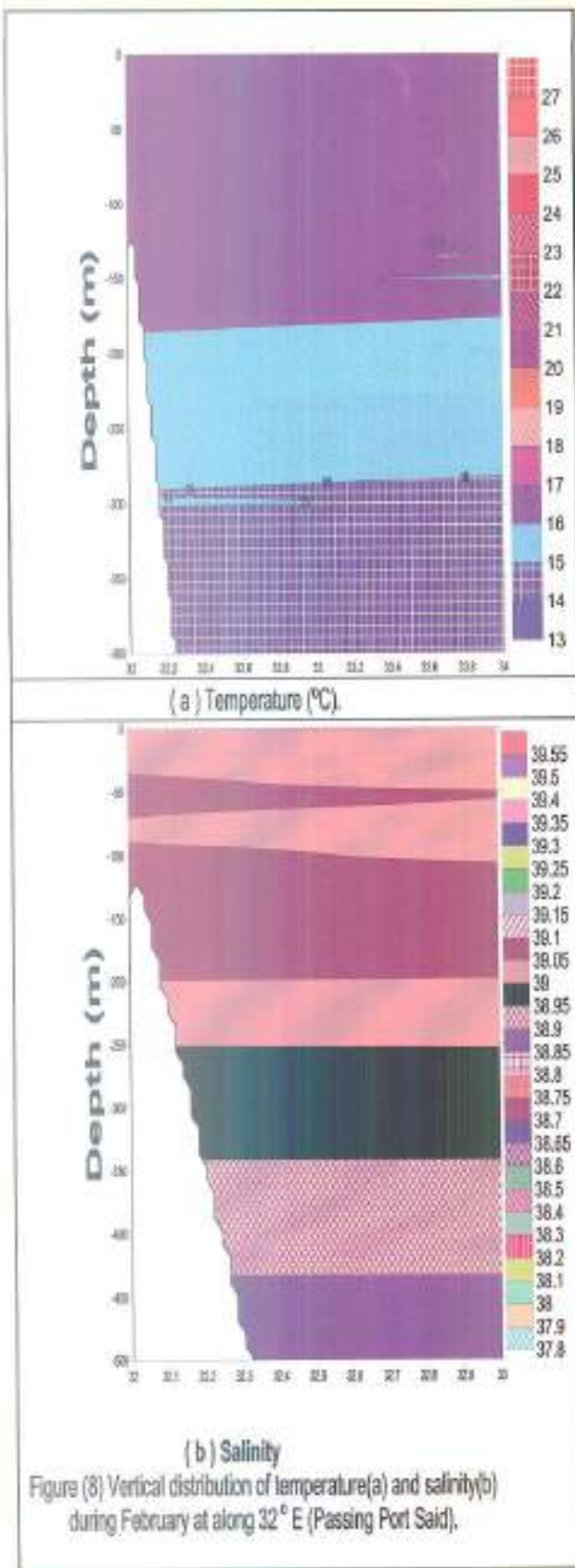


Figure (8) Vertical distribution of temperature(a) and salinity(b) during February at along 32° E (Passing Port Said).

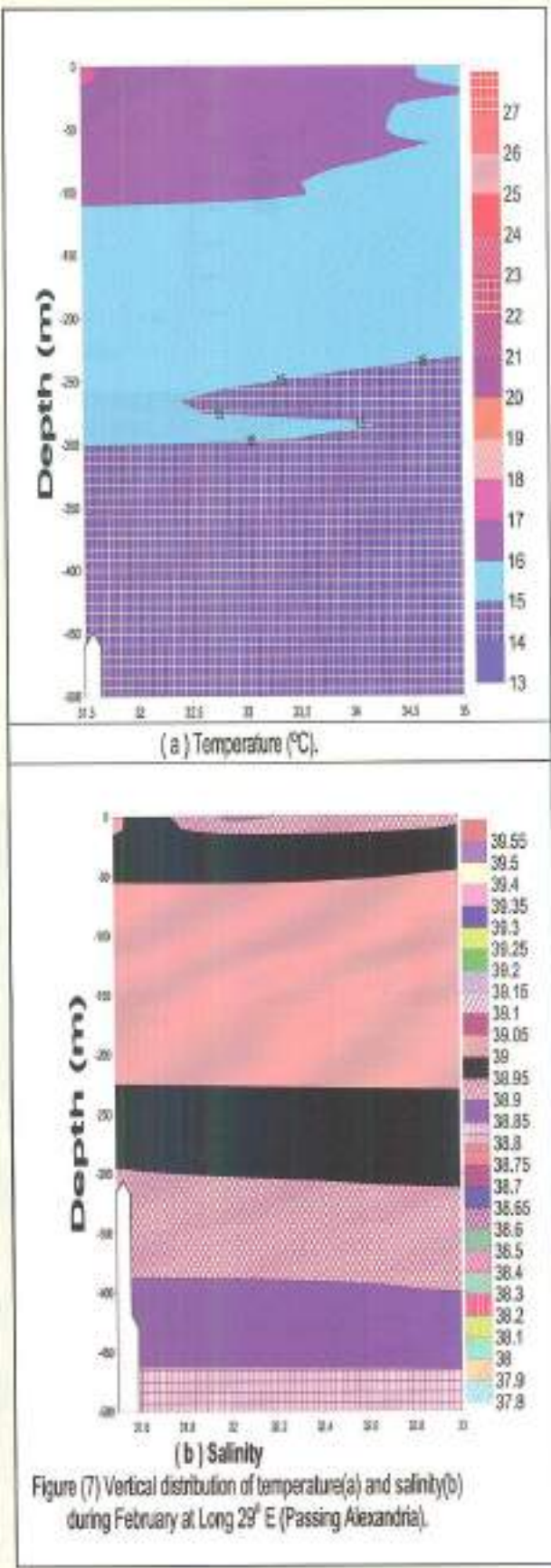


Figure (7) Vertical distribution of temperature(a) and salinity(b) during February at Long 29° E (Passing Alexandria).

تواجدها) ووُجد أنها ذات تغير زمني ومكاني وقد تصل إلى أكثر من ٥٠٠٠ متر خلال شهر يناير ويلاشى خلال شهر مايو . بحسب قيمة الزاوية الحرجة (θ_m) وهي الزاوية بين المستوى الأفقي ومحور الموجة الصوتية التي تمس سطح البحر قبل انكسارها ناحية العمق ، وجد أنها تتراوح ما بين صفر خلال شهر مايو و 40° خلال شهر يونيو ونوفمبر.

ثانياً ، الطبقة التحت سطحية(الميل الحراري) ذات التدرج السالب لسرعة الصوت حيث تتمد هذه الطبقة من الحد الأسفل للطبقة السطحية وحتى مستوى أقل سرعة للصوت في عمود الماء ويحدد هذا المستوى محور القناة الصوتية والذي يكون عليه أكبر تجمع وانتشار للموجات الصوتية في الماء ويزداد عمق محور القناة الصوتية أمام الساحل المصري في اتجاه البحر ليصل حتى عمق 40 متر وتقل سرعة الصوت على هذا المحور في اتجاه البحر من $1518,5$ متر/ث إلى 1514 متر/ث ويوجد بمنطقة الدراسة قناة صوتية ضحلة وأخرى عميقه وذلك لاختلاف الكتل المائية القادمة لمنطقة شرق البحر المتوسط من المحيط الأطلسي أو من البحر الأدربيatic أو من كتلة مياه شرق المتوسط البين متوسطة (LIW) . أحياناً ما توجد القناة الصوتية بالقرب من أو

قام الباحث بدراسة الطرق المختلفة لحساب سرعة الصوت في الماء حيث تم إدخال معادلة UNESCO 1977 equation ، Chen and Millero برنامج الحاسوب لاستخدامه في حساب البيانات الصوتية.

تم تقسيم عمود الماء إلى ثلاثة طبقات مختلفة من الناحية الصوتية وهي :
أولاً ، الطبقة السطحية ذات التدرج الموجب في قيم سرعة الصوت مع العمق والتي يتغير سمكها جغرافياً حتى يصل إلى 150 متر في بعض المناطق ويصل سمك تلك الطبقة التي يتواجد تحتها منطقة الظل المتغيرة من شهر لآخر وكذا من منطقة لأخرى داخل منطقة الدراسة إلى أقصى ما يمكن (أكثر من 150 متراً) خلال شهر يناير كما قد تختفي هذه المنطقة كلياً من شهر مايو إلى أغسطس وتتراوح سمك هذه المنطقة ما بين الصفر و 60 متر في المناطق المتاخمة للسواحل المصرية على البحر المتوسط ويتواجد أسفل هذه الطبقة مناطق الظل ، التي لا تسمح بدخول أي موجات صوتية وبالتالي لا يرتدي منها أي موجات صوتية ، على بعد من مصدر الصوت تم حساب المدى إلى منطقة الظل (2_m) وهي المسافة بين مصدر الموجات الصوتية ومنطقة الظل تحت الطبقة السطحية (في حالة

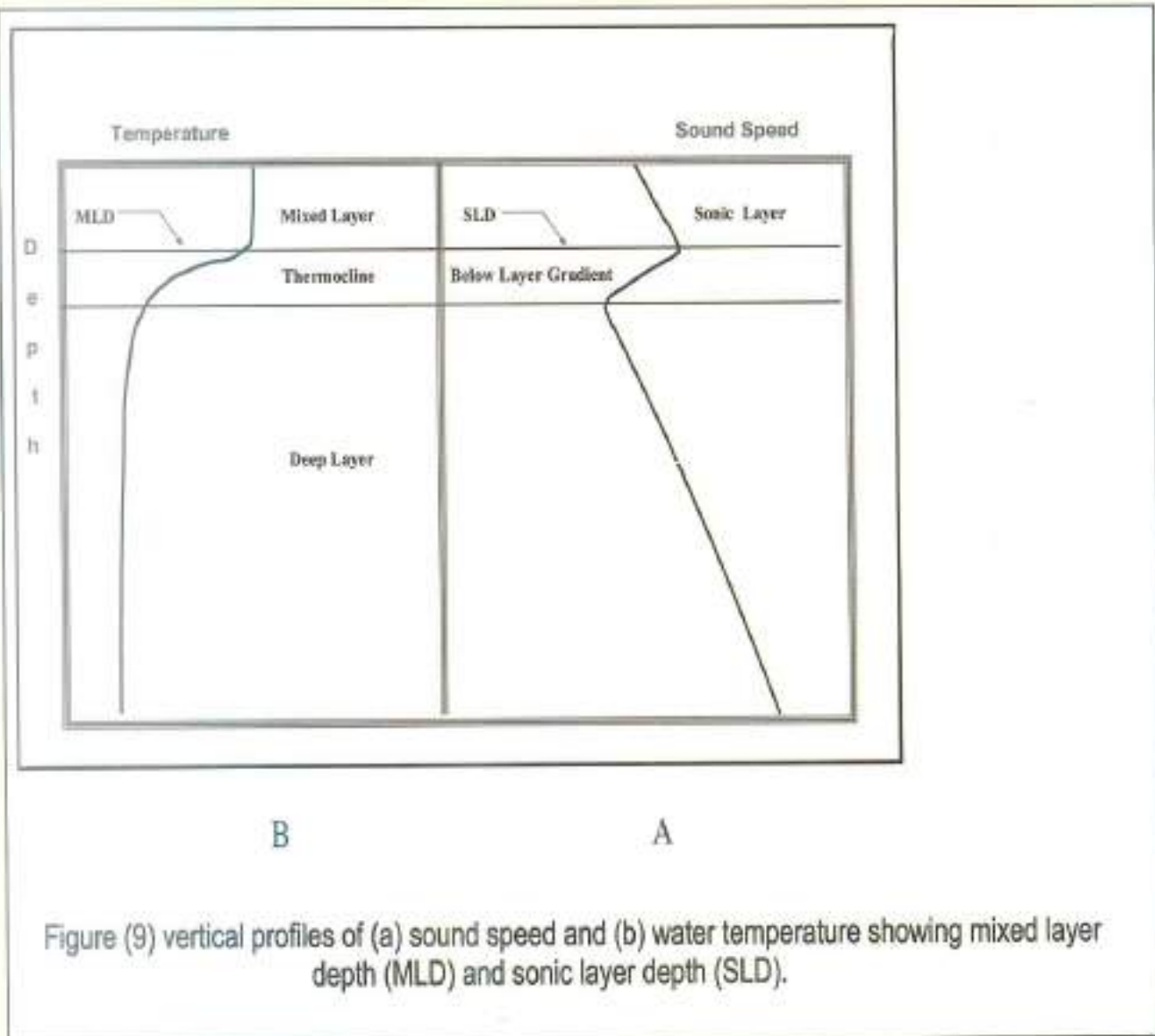


Figure (9) vertical profiles of (a) sound speed and (b) water temperature showing mixed layer depth (MLD) and sonic layer depth (SLD).

وسرعة الصوت أعلى في الجزء الجنوبي من منطقة الدراسة وتقل سرعة الصوت كلما اتجهنا شمالاً وينخفض المدى إلى منطقة الظل في الجزء الجنوبي الشرقي من البحر المتوسط ليرتبط مع أعمق قناة صوتية وهي نفس الوقت مع أعلى سرعة صوت والتي ترتبط بزاوية شعاع صغيرة، حيث أن المناطق التي يكون بها المدى كبير هي المناطق التي

في الطبقة السطحية نتيجة تدفق مياه (LIW) في هذه الطبقة.

ثالثاً : الطبقة العميقة ذات التدرج الموجب لسرعة الصوت حيث تزداد سرعة الصوت في هذه الطبقة مع العمق نتيجة لضغط عمود الماء فوقها . وبصفة عامة فإن قناة الصوت تكون أعمق

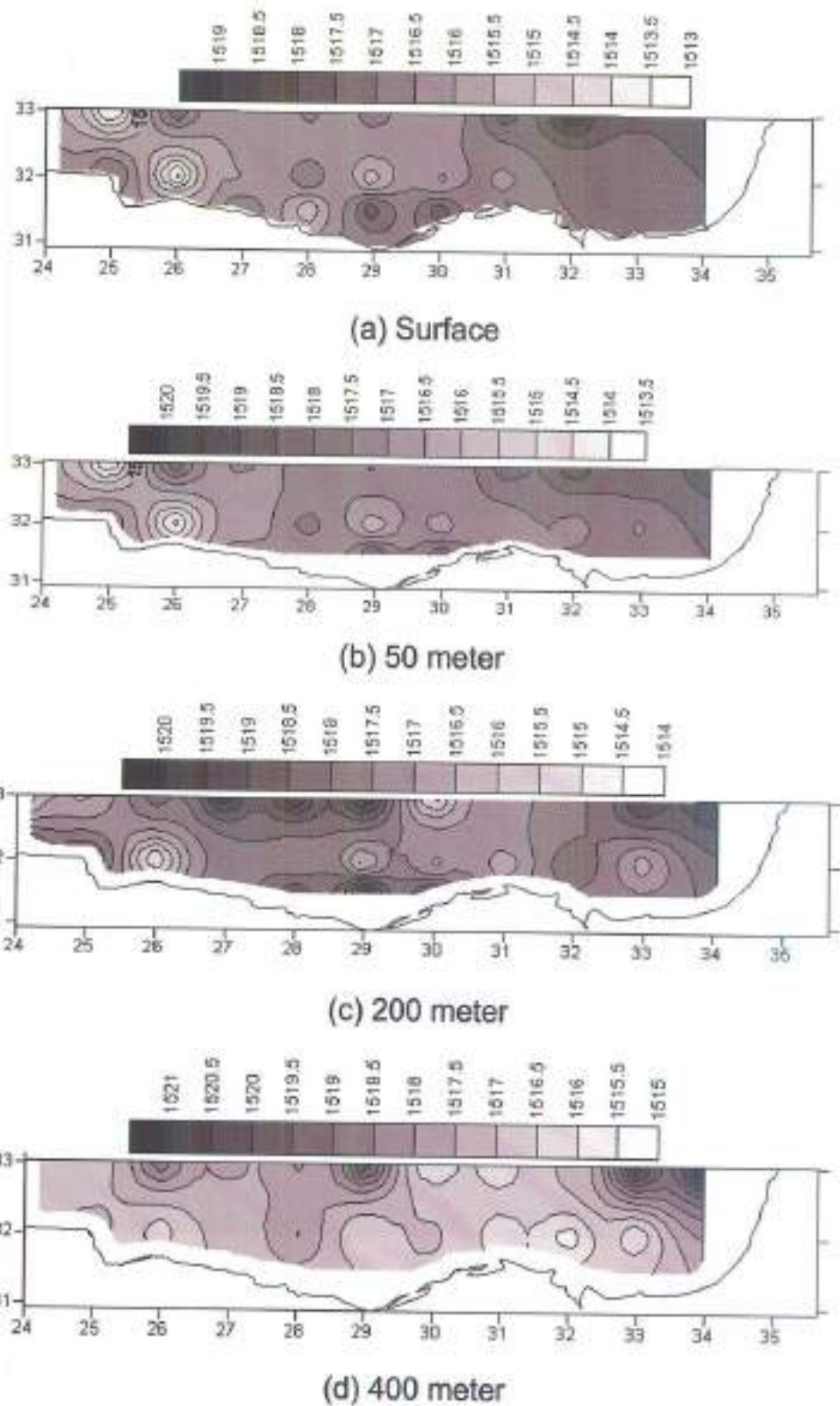


Figure (10) The Horizontal distributions of sound speed
at depths from 0 to 400 m during February.

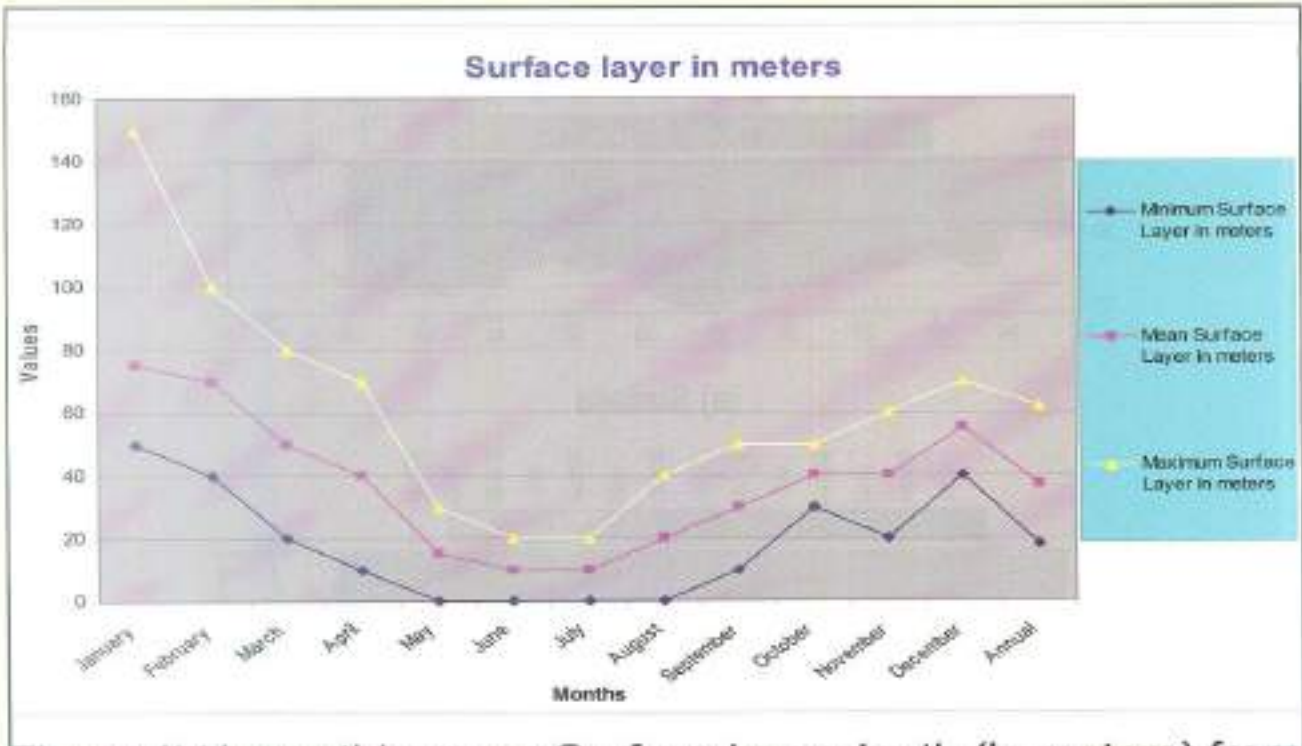
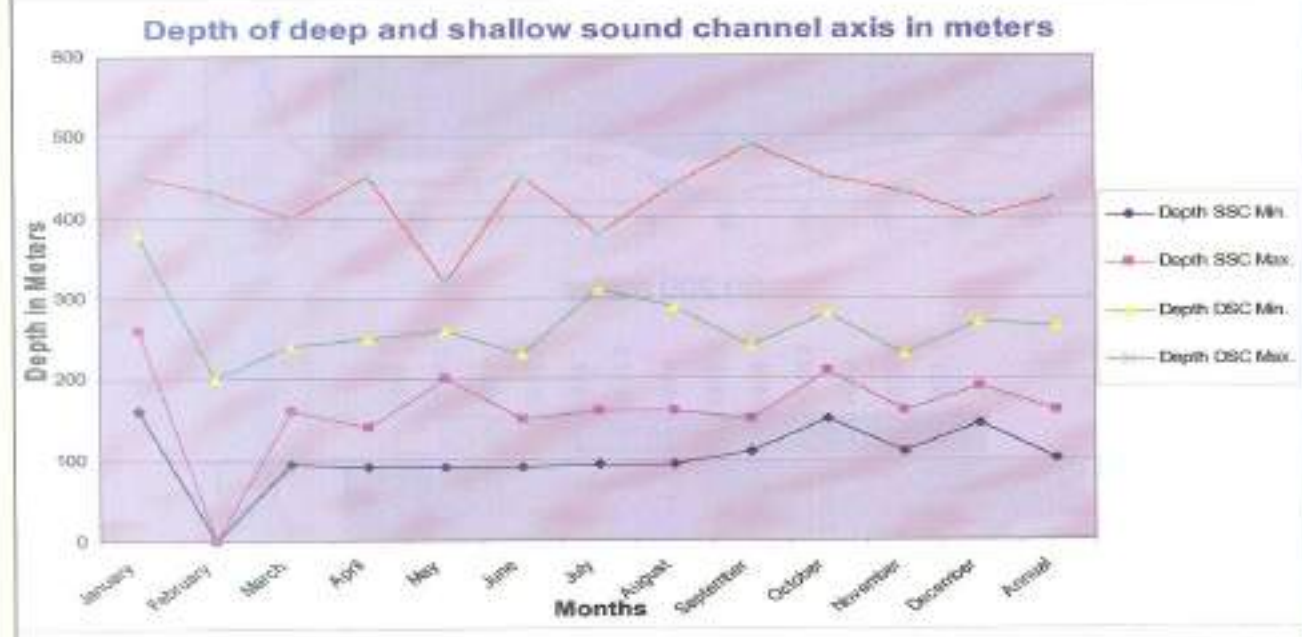


Figure (١١) monthly mean Surface layer depth (in meters) from January to December



من الدراسة التأثير المباشر للدورةات البحرية على الخصائص الصوتية لمنطقة خاصة بالنسبة للطبقة السطحية.

يكون بها زاوية الشعاع صغير.

تم حساب المتوسط الرأسى لسرعة الصوت (MVSS) لمنطقة البحث والتي تراوحت قيمتها ما بين ١٥٤٩,٥٩ - ١٥٠٤,٦٨ متر/ث وقد لوحظ